

## Experimental Investigations and Development of New Relations to Determine Run-down Levels of Irregular Waves on Reshaping Breakwaters

N.Shirian<sup>1</sup>, M.Shafieefar<sup>2</sup>,  
P.Aghtouman<sup>3</sup> and V.Chegini<sup>4</sup>

### Abstract

In this research, the effects of irregular wave action on run-down on the slope of reshaping rubble-mound breakwaters have been investigated. Reshaping breakwater is a new kind of breakwater in which the initial profile is changed to an S-shaped profile, once affected by waves. Therefore, the relations related to run-down levels on conventional breakwaters cannot be used for this type of structure. This research is conducted based on Experimental Modeling. Experiments were performed in the Soil Conservation and Watershed Management Research Institute (SCWMRI) for multiple cross sections of reshaping breakwaters with three different slopes in years 2003 and 2004. The wave flume was equipped with a modern DHI wave generation system, which contains paddle, power pack, hardware and software divisions. The hydraulic responses mentioned above, were investigated by changing the wave parameters such as significant wave height, mean and peak wave period and storm duration on the three structure's seaward slopes, equal to 1:1.25, 1:2.0, 1:2.5. JONSWAP wave spectrum was used in all experiments. The Armored layer materials were included in three grading classes ( $D_{n85A}/D_{n15A} = 1.14, 1.44, 1.82$ ) and a Range of structural index permeability,  $P_e (1 \leq D_{n50A}/D_{n50C} \leq 20)$ . In order to investigate the effects of changing structural geometry, wave properties, and the comparison between two scales ( $\lambda = 50, 30$ ), 120 tests were performed with 1000 to 6000 waves. Finally the results of different scale factors were compared. The experimental results were plotted as graphs showing the run-down levels versus the surf similarity parameter and deepwater wave steepness. Because the Iribarren number does not accurately describe the combined effects of slope and wave steepness, an improved and new formula was fitted to data using multiple linear regression and nonlinear regression, which results in some new empirical equations presented in this paper.

**Keywords:** Reshaping breakwaters, Wave run-down, Rubble Mound, Experimental modeling, Irregular waves.

مطالعه مدل آزمایشگاهی و ارائه روابط جدید جهت تعیین میزان پایین آمدگی امواج نامنظم از موج شکن های شکل پذیر

ناصر شیریان<sup>۱</sup> ، مهدی شفیعی فر<sup>۲</sup> ،  
پیمان آق تومن<sup>۳</sup> و وحید چگینی<sup>۴</sup>

### چکیده

در این تحقیق تأثیر امواج نامنظم دریا بر میزان پایین آمدگی امواج از موج شکن های توده سنگی شکل پذیر مورد بررسی قرار گرفته است. موج شکن شکل پذیر، نوعی موج شکن است که نیم خواه اولیه آن در اثر برخورد امواج تغییر شکل پیدا می کند. پژوهش حاضر با استفاده از روش مدل آزمایشگاهی در فلوم انجام شده است. امواج تاییده شده به مدل مقطع موج شکن، نامنظم با طیف افزایش جنساپ بوده است. محدوده ارتفاعات امواج ۴ تا ۱۴ سانتی متر و پریودهای میانگین ۰/۹ تا ۰/۷ ثانیه در آزمایشگاه در نظر گرفته شده اند. جهت اجرای مصالح لایه آرمور، از سنگ با دانه بندی های به ترتیب  $1/14$  و  $1/44$ ،  $1/82$  و  $1/14$  و  $D_{n85A}/D_{n15A} = 1/14$  و محدوده شاخص نفوذ پذیری مصالح سازه  $10 \geq D_{n50A}/D_{n50C} \geq 1$  و  $D_{n50A}/D_{n50C} \leq 1$  استفاده شده است. برای بررسی تأثیر شیب سازه، شیب های ۱:۲/۵ و ۱:۱/۲ و ۱:۲/۵ با مقیاس ۱:۵، ۱:۱/۲ و ۱:۲/۵ با مقیاس ۱:۵ مورد آزمایش قرار گرفته اند و به منظور بررسی اثر مقیاس، چند آزمون شاخص با مقیاس ۱:۳۰ تکرار شده است. تعداد امواج تاییده شده به مدل سازه از ۱۰۰۰ تا ۶۰۰۰ موج در نظر گرفته شده و مجموعاً تعداد ۱۲۰ آزمایش انجام شده است. نتایج آزمایشگاهی به صورت نمودارها و روابط میزان پایین آمدگی و عده ارائه و عده آزمون و به کمک روش های رگرسیونی خطی چندگانه، فرمولهای جدیدی به داده های آزمایشگاهی برآورده شده است، که در این مقاله ارائه می گردد.

**کلمات کلیدی:** موج شکن های توده سنگی شکل پذیر، پایین آمدگی امواج، مدل آزمایشگاهی، امواج نامنظم

1- Ph.D.Candidate, Tarbiat Modares University, Tehran, Iran  
2- Assistant Professor, Tarbiat Modares University, Tehran, Iran.  
3- Faculty Members of Soil Conservation and Watershed Management Research Center  
4- National Oceanographic Center

1- داشجوی دکتری سازه های هیدرولیکی، دانشکده فنی مهندسی، دانشگاه تربیت مدرس  
2- عضو هیئت علمی دانشکده فنی مهندسی، دانشگاه تربیت مدرس  
3- عضو هیئت علمی مرکز تحقیقات حفاظت خاک و آبخیزداری وزارت جهاد کشاورزی  
4- عضو هیئت علمی مرکز ملی آقیانوس شناسی

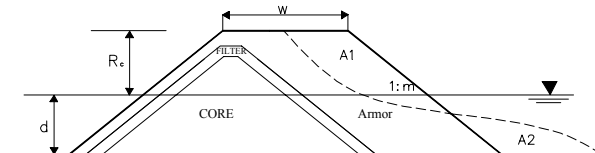
١ - مقدمه

که معمولاً بیش از ارتفاع موج تابشی است، می‌شود. ترازهای حدی پایینی که در هر برخورد موج حاصل می‌شود، پایین آمدگی موج (R<sub>d</sub>) نامیده می‌شوند. این ترازها نسبت به سطح ایستاتیک تعریف شده و از جمله متغیرهای مهم طراحی هستند. نتایج آزمایشها و روابط پیشنهادی توسط محققین معمولاً به صورت ترازهای پایین آمدگی میانگین (یعنی میانگین پنجاه درصد بیشترین پایین آمدگی‌ها)، عمده (یعنی میانگین یک سوم بیشترین پایین آمدگی‌ها)، ۰/۱٪، ۰/۵٪ و ۰/۱۰٪ در مقامات یا کتب ارائه شده‌اند. تراز پایین آمدگی موج برای تعیین میزان لایه حفاظتی آرمور در پایین سازه و یا به عنوان معیاری برای تعیین تراز سکوی پنجه به کار برده می‌شود. پایین آمدگی معمولاً با متغیر بدون بعد R<sub>d</sub> بیان می‌شوند.

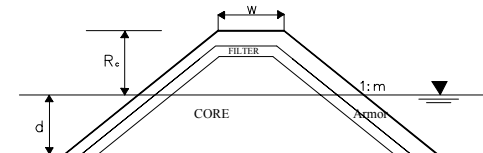
در بررسی مشخصات امواج، شرایط موج عمدتاً توسط ارتفاع موج تابشی  $H_i$  (معمولاً ارتفاع مشخصه موج  $H_s$ )، پریود میانگین  $T_m$  یا پریود اوج (پیک)  $T_p$ ، زاویه برخورد موج  $\beta$ ، عمق آب در جلوی سازه  $d$  و طول موج ژرفاب  $L_0$  مشخص می‌شوند. تأثیر پریود موج غالباً با استفاده از رابطه بدون بعد تیزی موج ژرفاب، بررسی می‌شود.

به طور کلی موج شکن‌های توده سنگی به دو دسته تقسیم بندی می‌شوند، افق: موج شکن توده سنگی پایدار ایستا (پایدار استاتیکی یا سنتی) و موج شکن توده سنگی پایدار پویا (پایدار دینامیکی). در موج شکن‌های توده سنگی پایدار ایستا (سنتی) تغییر شکل کلی سازه مجاز نیست و تغییر شکل جزئی ( $0\text{--}5\%$ ) ملاک طراحی است؛ در حالی که در نوع پایدار پویا، تغییر شکل سازه مجاز است و به سازه اجازه داده می‌شود پس از برخورد امواج تغییر شکل دهد تا نهایتاً به یک حالت پایدار برسد. این نوع موج شکن‌ها، موج شکن‌های شکل‌پذیر (S شکل، غیر سنتی) نیز نامیده می‌شوند.

پارامترهای حاکم در طراحی سازه‌های ساحلی به سه دسته پارامترهای هیدرولیکی، پارامترهای ژئوتکنیکی و پارامترهای سازه‌ای تقسیم می‌شوند. پارامترهای هیدرولیکی عبارتند از بازتاب امواج از سازه، سرربزی و عبور امواج، بالا روی و پایین روی امواج (شکل ۲). پارامترهای هیدرولیکی عوامل تعیین‌کننده انتخاب نوع و مشخصات هندسی سازه‌های ساحلی هستند. از این‌رو هر یک از این پارامترها باید در روند طراحی سازه‌های ساحلی مورد بررسی قرار گیرند. فعالیت موج ببروی سازه تزویه‌سنگی موجب نوسان تراز آب در محدوده قائمی



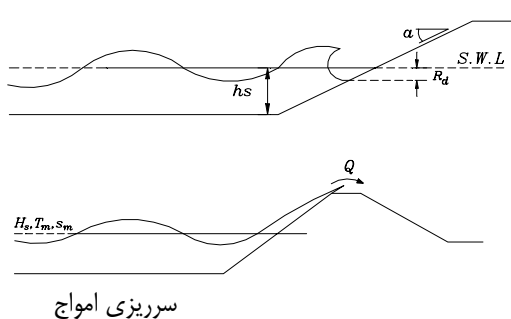
## موج شکن پایدار پویا(شکل پذیر)



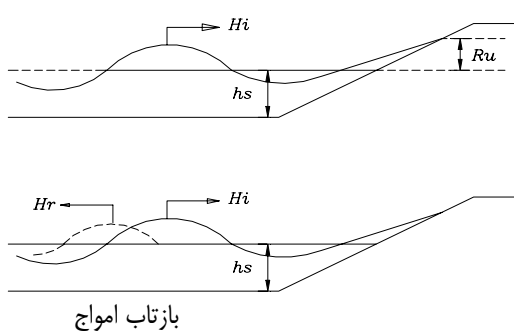
موج شکن پایدار ایستاده (ستی)

### شکل ۱- انواع موج شکن‌های توده سنگی

پایین روی امواج



پالاروی امواج



## شکل ۲- واکنشهای هیدرولیکی سازه‌های ساحلی

پایین آمدگی توصیه شده‌اند. در مورد عوامل تأثیرگذار بر روی ترازهای پایین آمدگی  $R_d$ ، تحقیقات نشان داده است که نفوذپذیری سازه و پارامتر تشابه شکست مهم می‌باشند. رابطه کلی تراز پایین آمدگی نسبی  $\%R_{d2\%}/H_s$  بر روی مقاطع مورد آزمایش قرار گرفته موج‌شکن‌های پایدار ایست (ستی) به وسیله آزمودن Van der Meer (1988, 1993) منجر شده است که اثرات نفوذپذیری سازه و تیزی موج را در بر می‌گیرد.

$$\frac{R_{d2\%}}{H_s} = 2.1(tan\alpha)^{1/2} - 1.2P^{0.15} + 1.5exp(-60s_{om}) \quad (3)$$

نتایج آزمایش در مورد هسته‌های نفوذ ناپذیر و نفوذ پذیر در شکل ۴ نشان داده شده است. نمایش داده‌ها با  $s_{om}$  نشان دهنده پراکنش قابل توجهی است. این پراکندگی با در نظر گرفتن زاویه شیب و تیزی موج  $s_{om}$  به طور جداگانه و نیز در نظر گرفتن نفوذپذیری به صورت رابطه (۳) به میزان قابل توجهی کاهش می‌یابد.

در زمینه موج شکن‌های شکل پذیر رابطه ای مشابه رابطه (۳) وجود نداشته و تنها از آن می‌توان بعنوان تخمین اولیه و مقایسه کلی نتایج آزمایشگاهی این تحقیق استفاده کرد.

## ۲- آنالیز بعدی

عواملی که بر مقادیر پایین آمدگی  $R_d$  از موج‌شکن‌های شکل پذیر مؤثر می‌باشند عبارتند از:

$$s_{om, op} = \frac{H}{L_{om, op}} = \frac{2\pi H_s}{g T^2} \quad (1)$$

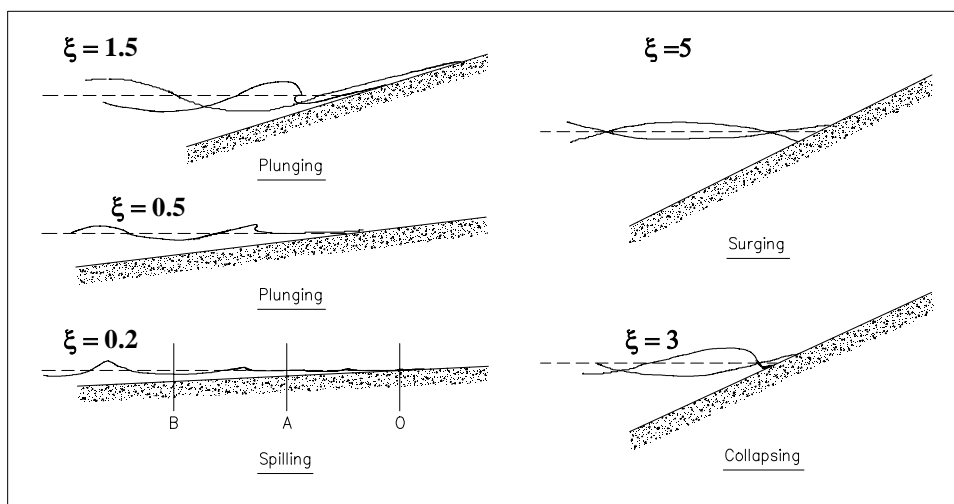
استفاده از پارامترهای  $H_s$  و  $T_p$  یا  $T_m$  در معادله شماره (۱) به ترتیب  $s_{op}$  و  $s_{om}$  را نتیجه می‌دهد. پارامتر تشابه شکست  $\xi$  معمول ترین پارامتر بدون بعد برای بیان اثر امواج بر سازه‌های شیبدار است. این پارامتر که عدد ایریبارن  $I$  نیز نامیده می‌شود، عبارت است از:

$$(2) \quad \xi_{om, op} = \tan\alpha / \sqrt{s_{om, op}}$$

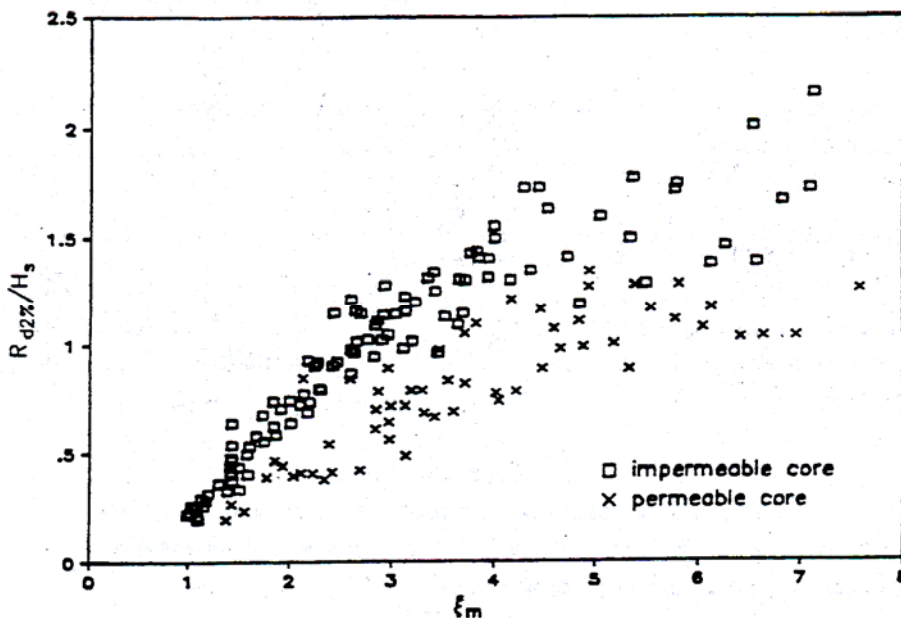
بطوری که در رابطه بالا  $\tan\alpha$  شیب سمت دریای سازه و  $s_0$  تیزی موج ژرفاب می‌باشند.

مطابق شکل شماره ۳، پارامتر تشابه شکست اکثراً برای بیان شکل و حالت شکست موج بر روی شیب ساحل و یا یک شیب سازه‌ای مشخص به کار برده می‌شود. انواع امواج شکنا براساس مقادیر  $\xi$ ، به ترتیب از کوچک به بزرگ به اسمی آشفته، چرخان، آواری و لغزان نامیده می‌شوند.

بر روی میزان پایین آمدگی امواج از موج‌شکن‌های توده سنگی ستی و سکویی شکل پذیر De Waal and Van Pilarczyk (1990)، Van der Meer and Stam (1992)، Van der Meer (1988, 1993, 1994, 1998) (۱۳۷۹) و عامری و همکاران (۱۳۷۹) تحقیق و روابط تجربی مختلفی را ارائه نموده‌اند. در گزارشات TAW (1974)، DHI (1996)، CIRIA/CUR (1991, 1995)، USACE (1984) و PIANC (2003) نیز فرمولهایی به منظور تخمین میزان



شکل ۳- انواع امواج شکنا براساس تابعی از پارامتر تشابه شکست



شکل ۴- پایین آمدگی نسبی موج ( $R_{d2\%}/H_s$ ) از شیب‌های سنگی نفوذناپذیر و نفوذپذیر

$$R_d = \Phi[H_{si}, T, N, D_{n50A}/D_{n50C}, D_{85A}/D_{15A}, t_A, \rho_w, \rho_r, d_i, v, g, D_{n50}, \cot \alpha, A_e, R_c] \quad (4)$$

نفوذپذیری مصالح موج‌شکن،  $\cot \alpha$  شیب اولیه سازه،  $d_i/H_s$  نسبت عمق آب در جلوی سازه به ارتفاع موج تابشی و  $S$  پارامتر سطح آسیب می‌باشد.

### ۳- مدل‌سازی آزمایشگاهی

در آزمایش‌های مربوط به مدل‌سازی سازه‌های ساحلی نیروی غالب، نیروی وزن یا گرانش است. از این رو معیار مناسب برای مدل‌سازی، معیار فرود است و نوع جریان نیز باید کاملاً آشفته در نظر گرفته شود تا بتوان از اثرات لزجت صرف‌نظر کرد. کنترل اثرات لزجت به وسیله کنترل معیار رینولدز ممکن می‌شود که براساس توصیه Van der Meer (1988) باید در محدوده رابطه زیر قرار گیرد:

$$R_e = D_{n50} \sqrt{g H_s} / v > (1 \sim 4) \times 10^4 \quad (6)$$

که در آن  $D_{n50}$  قطر اسمی مصالح است که ۵۰ درصد از مصالح، قطری کمتر از آن را دارا باشند. در رابطه (6) از مقادیر مورد استفاده در مدل استفاده می‌شود. برای ایجاد تشابه سینماتیکی و دینامیکی از رابطه (7) که اصلاح شده نسبت عدد پایداری هادسون در پرووتایپ و مدل می‌باشد، استفاده شده است.

که در رابطه فوق  $H_{si}$  ارتفاع مشخصه موج تابشی،  $T$  پریود موج،  $N$  تعداد امواج،  $D_{n50C}$  و  $D_{n15A}$  به ترتیب عبارتند از ۵۰ درصد، ۵۰ درصد و ۱۵ درصد مقادیر منحنی‌های دانه بندی و ۸۵ درصد منحنی دانه‌بندی هسته،  $t_A$  ضخامت لایه آرمور،  $\rho_w$  جرم مخصوص مصالح،  $d$  عمق آب در جلوی سازه،  $A_e$  ویسکوزیتی سینماتیکی آب،  $g$  شتاب گرانش،  $\cot \alpha$  شیب اولیه سازه،  $v$  سطح فرسایش یافته و  $R_c$  عمق آزاد موج‌شکن می‌باشد.

با استفاده از روش باکینگهام (Hughes 1993) و در نظر گرفتن متغیرهای تکراری  $\rho_w$  و  $g$  و  $H_{si}$ ، اصل ترکیب سازی در تحلیل ابعادی و انجام آزمایشها بر اساس قانون مقیاس فرود و کنترل عدد رینولدز، متغیرهای مؤثر بر روی مقادیر بدون بعد پایین آمدگی عبارت خواهند بود از:

$$R_{di\%}/H_s = \Phi [s_{om}, N, D_{n85A}/D_{n15A}, D_{n50A} / D_{n50C}, \cot \alpha, d_i/H_s, S] \quad (5)$$

که در این رابطه  $s_{om}$  تیزی موج،  $N$  تعداد امواج، دانه‌بندی  $D_{n85A}/D_{n50C}$  مصالح لایه آرمور،  $P_e = D_{n50A}/D_{n50C}$  شاخص

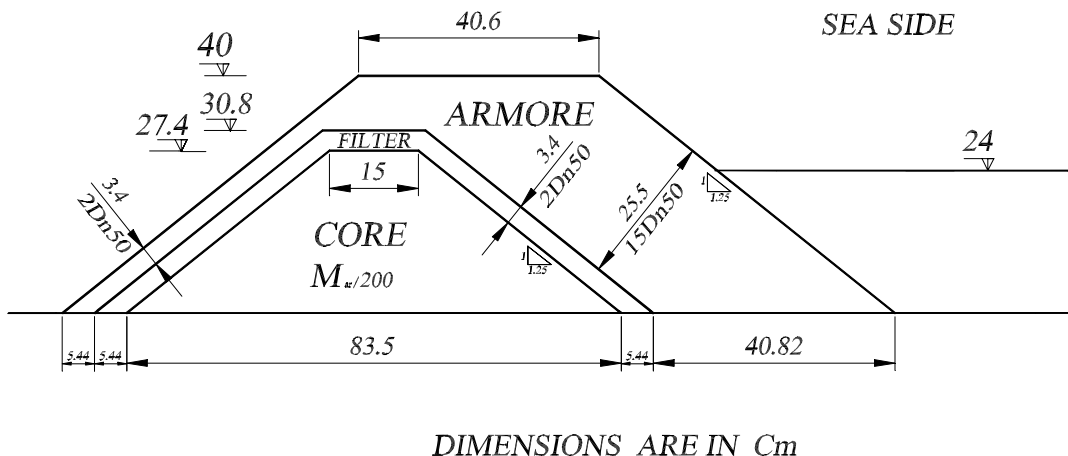
مدل است. با رعایت این معیارها و قابل اعتماد بودن اثرات مقیاس، مقیاس ۱:۵۰ (۳۰ $\lambda$ ) برای آزمایشها انتخاب شده است.

**۴- برپایی مدل و شرح آزمایشها**  
آزمایش‌های مدل بر روی مقطع موج شکن شکل پذیر(شکل ۵) و در فلوموج مرکز تحقیقات حفاظت خاک و آبخیزداری وزارت جهاد کشاورزی که دارای ۳۳ متر طول، ۱ متر عرض و ۱ متر ارتفاع می‌باشد (شکل ۶) انجام شده است.

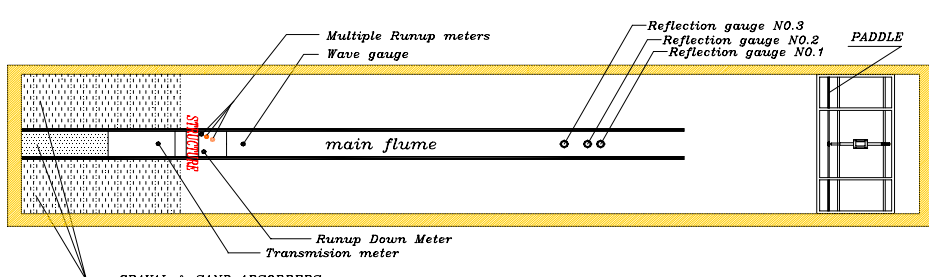
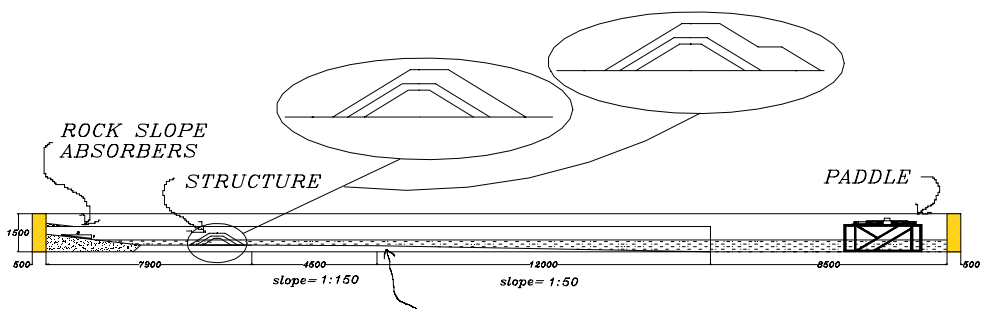
$$(7)$$

$$\frac{W_M}{W_P} = \frac{I}{\lambda^3} \times \frac{\rho_{am}}{\rho_{ap}} \times \frac{(\rho_{ssdp} / \rho_{wp} - I)^3}{(\rho_{ssdm} / \rho_{wm} - I)^3}$$

که در آن  $\rho_{ssdp}$  چگالی اشباع با سطح خشک واحد آرمور در نمونه واقعی،  $\rho_{ssdm}$  چگالی اشباع با سطح خشک واحد آرمور در مدل،  $\rho_{wp}$  چگالی آب در نمونه واقعی،  $\rho_{wm}$  چگالی آب در مدل،  $\rho_{ap}$  چگالی مصالح در نمونه واقعی و  $\rho_{am}$  چگالی مصالح در



شکل ۵- نمونه مقطع عرضی مدل آزمایشگاهی موج شکن شکل پذیر مورد آزمایش با شیب ۱:۲۵



شکل ۶- مقطع عرضی و پلان فلوموج و نحوه استقرار سازه، پاروی مولد موج و سنسورها

شیب اولیه سازه  $\cot \alpha$ ، تعداد امواج  $N_{om}$  و عمق آب در جلوی سازه به ارتفاع موج  $d_i/H_s$  عملاً به تغییرات پایین آمدگی حساس بوده و بایستی در روابط رگرسیونی لحاظ شوند. به عنوان نمونه در اشکال ۸، ۹ و ۱۰ تغییرات میزان پایین آمدگی بر حسب متغیرهای دانه‌بندی، شاخص نفوذپذیری و شیب اولیه سازه ارائه شده اند.

**جدول ۱ - محدوده پارامترهای مورد مطالعه در مدل آزمایشگاهی موج‌شکن‌های شکل‌پذیر**

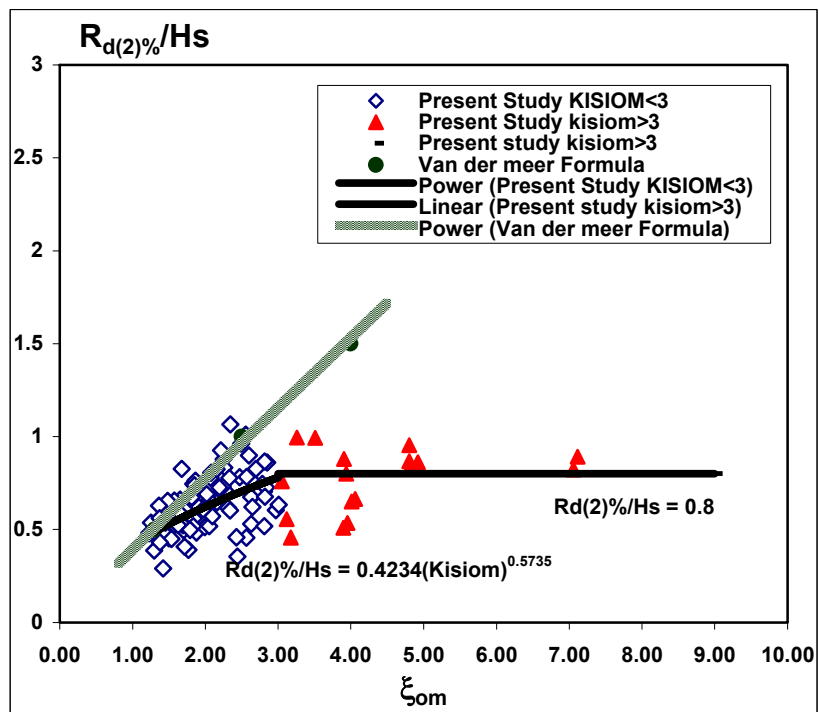
دانمه تغییرات	نماد	متغیر
(۳ تا ۱۴) سانتی‌متر	$H_s$	ارتفاع موج
(۰/۹ تا ۰/۷)	$T_m$	دوره میانگین موج
(۰/۰۷ تا ۰/۰۱)	$s_{om}$	تیزی موج
۱۰۰۰، ۲۰۰۰، ۳۰۰۰	$N$	تعداد امواج
(۱/۷) سانتی‌متر	$D_{n50}$	قطر اسمی مصالح آرمور در مدل
(۰/۰۵ و ۰/۰۳ و ۰/۰۲)	$t_A / D_{n50}$	نسبت خثامت لایه آرمور به قطر اسمی
(۱/۱۴ و ۱/۱۴ و ۱/۸۲)	$D_{n85A} / D_{n15A}$	دانه‌بندی مصالح آرمور
$P_e > 10$ و $\leq P_e \leq 100$	$D_{n50A} / D_{n50C}$	شاخص نفوذپذیری مصالح سازه $P_e$
(۰ تا ۳۰) سانتی‌متر	$d_i$	عمق آب
(>۲/۲)	$d_i / H_s$	عمق آب به ارتفاع موج
۱/۲۵، ۰/۲۵	$\cot \alpha$	شیب اولیه
۰/۷ تا ۰/۵	$H_s / \Delta D_{n50}$	پارامتریدون بعد ارتفاع موج یا عدد $N_s$ پایداری
۰/۵	$\lambda$	مقیاس

امواج توسط پارویی مولد موج به طول ۵/۵ متر و ارتفاع ۱ متر از نوع پیستونی قائم که در انتهای فلوم امواج قرار گرفته است تولید شده‌اند. برای انجام آزمایش‌ها از ۵ تا ۸ دستگاه ارتفاع سنج موج که در نقاط مختلف نصب می‌شوند، استفاده گردید. آرایش سنسورها در فلوم و بدنه سازه بسته با هدف آزمایش تغییر می‌کرد. در آزمایش‌های مربوط به اندازه‌گیری ضرایب بازتاب و انتقال موج سه سنسور به صورت قائم در قسمت میانی فلوم و مابین سازه و پارو و یک سنسور در پشت سازه نصب می‌گردید. یک دستگاه ارتفاع سنج موج در جلوی سازه، برای اندازه‌گیری امواج تابشی ترکیب شده با امواج بازتابی و سه دستگاه ارتفاع سنج دیگر برای اندازه‌گیری مقدار بازتاب در وسط فلوم نصب شده‌اند. داده‌های برداشت شده از این سنسورها با استفاده از روش Mansard (1980) و به وسیله نرم‌افزار Wave synthesizer (Ws) تحلیل شده و ضرایب بازتاب و ارتفاع موج تابشی در جلوی سازه محاسبه شده اند. در حالی که در آزمایش‌های اندازه‌گیری بالاروی و پایین روی، جمماً ۷ سنسور فقط در بدنه سازه استقرار می‌یافتد. سنسور مشترک در تمامی آزمایش‌ها، سنسور شماره ۱ بود که به صورت قائم در فاصله ای برابر یک چهارم طول موج ماکریم، در جلوی سازه و در وسط فلوم میانی نصب می‌گردید. در کلیه آزمایش‌ها پروفیل سازه در سمت پارو قبل از شروع آزمایش و بعد از اصابت امواج برداشت و ثبت شده است. دامنه‌ی تغییرات پارامترهای مورد مطالعه در جدول ۱ ارائه شده‌اند.

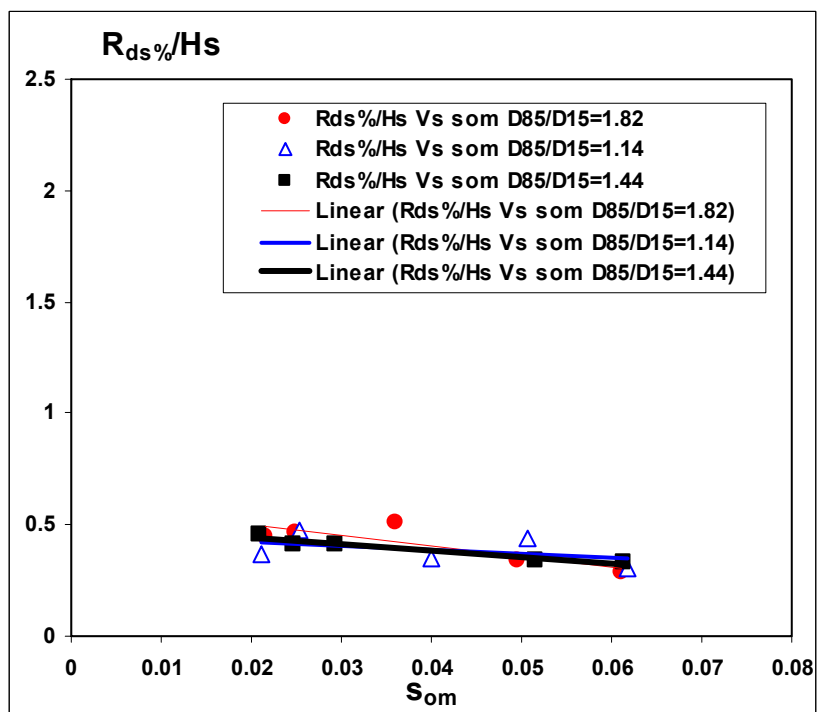
## ۵- تجزیه و تحلیل داده‌ها

در ابتدا به منظور مقایسه میزان پایین آمدگی بروی موج شکن‌های شکل‌پذیر با میزان پایین آمدگی در موج‌شکن‌های سنتی (پایدار ایستا)، داده‌های بدست آمده از آزمایشها بر اساس تغییرات بالاروی نسبی٪ ۲ بر حسب  $m^{\circ}$ ، با نتایج حاصله از تحقیقات انجام شده در مورد موج‌شکن‌های توده سنگی سنتی توسط Van der Meer (1988، 1994) در شکل ۷ مقایسه شده‌اند. در نمودار ترسیم شده خطوط خط چین مربوط به موج شکن‌های پایدار ایستا (سنتی) بوده و مشاهده می‌شود که مجموعه اطلاعات و نقاط بدست آمده از آزمایش‌های موج‌شکن‌های شکل‌پذیر در زیر خطوط خط‌چین قرار گرفته و در حقیقت نشان می‌دهد که مقادیر پایین آمدگی از موج‌شکن‌های پایدار ایستا (سنتی) از موج‌شکن‌های شکل‌پذیر بیشتر است.

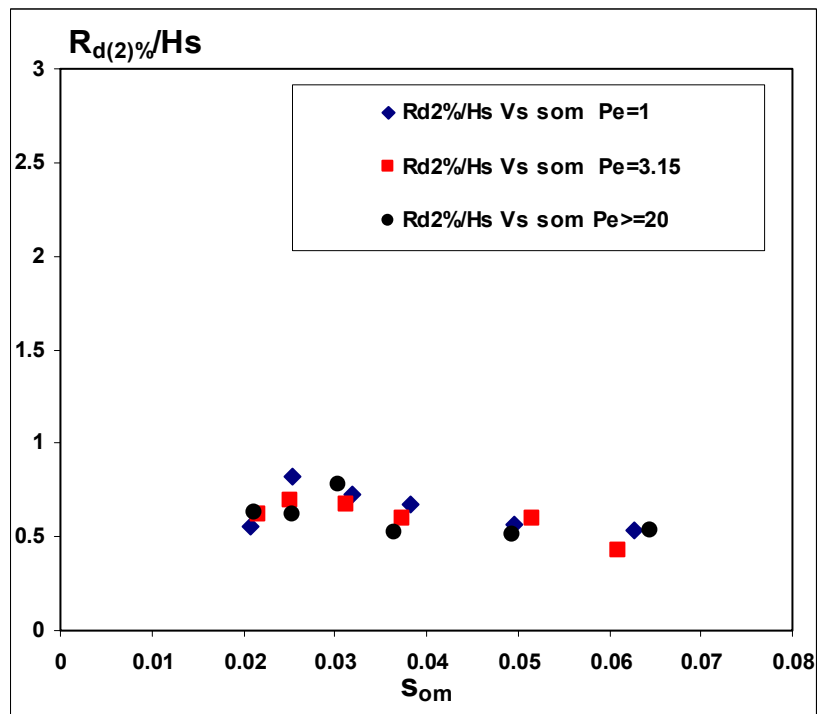
با توجه به معادلات آنالیز ابعادی بررسی‌های اولیه نشان داد که تغییرات میزان پایین آمدگی نسبت به تغییرات دانه‌بندی مصالح لایه آرمور  $D_{n85A} / D_{n15A}$  و شاخص نفوذپذیری مصالح موج‌شکن  $P_e = D_{n50A} / D_{n50C}$  محسوس نیستند؛ ولی متغیرهایی از قبیل



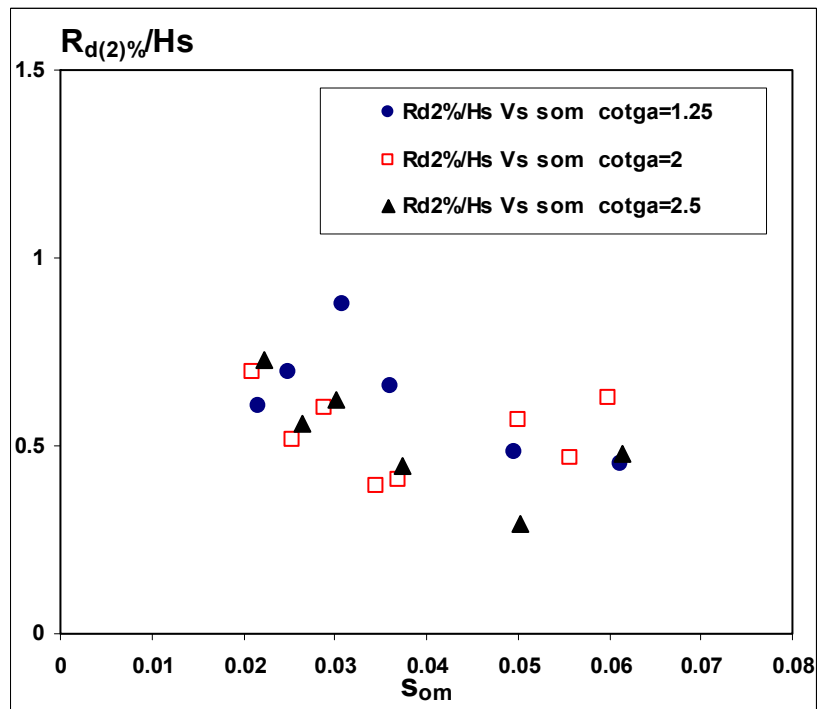
شکل ۷- نمودار میزان پایین آمدگی  $R_{d2\%}/H_s \%$ ، بر حسب  $\xi_m$



شکل ۸- نمودار  $R_{d2\%}/H_s$  به تفکیک دانه‌بندی‌های مختلف بر حسب  $S_{om}$



شکل ۹- نمودار  $R_{d(2)}/H_s$  بر حسب  $S_{om}$  به تفکیک شاخص نفوذپذیرهای مختلف  $P_e$



شکل ۱۰- نمودار نسبت میزان پایین آمدگی ۲٪ بر ارتفاع موج  $S_{om}$  به ازای شیب‌های اولیه مختلف

سازه می باشد. جداول خلاصه مدل و آنالیز واریانس ، رابطه (۹) بترتیب در جداول ۲ و ۳ ارائه شده اند.

**جدول ۲- جدول خلاصه مدل رابطه (۹)**  
**b خلاصه مدل**

مدل	R	R	مریع تعدیل شده	خطای معیار برآورده
۱	. / ۸۱۸ <sup>a</sup>	. / ۶۶۸	. / ۶۴۴	. / ۱۱۹۲۶۴

<sup>a</sup> . متغیرهای غیر وابسته: (عدد ثابت) ، LNSOM ، LNCOTGA ، LNDOHS ، LNN ،

<sup>b</sup> . متغیر وابسته: LNRD2OHS

**جدول ۳- جدول آنالیز واریانس مربوط به رابطه (۹)**  
**b آنالیز واریانس**

مدل	جمع مربعات	df	میانگین مربعات	F	سطح معنی دار بودن
رگرسیون <sup>۱</sup>	۱ / ۵۴۸	۴	. / ۳۸۷		
مانده	. / ۷۶۸	۵۴	. / ۰۱۴		
کل	۲ / ۳۱۶	۵۸		۲۷/۲۰۲	. / ... <sup>a</sup>

<sup>a</sup> . متغیرهای غیر وابسته: (عدد ثابت) ، LNSOM ، LNCOTGA ، LNDOHS ، LNN ،

<sup>b</sup> . متغیر وابسته: LNRD2OHS

رابطه رگرسیونی چندگانه خطی به یک دوم (1/2) اطلاعات آزمایشگاهی برآش داده شده است. به منظور اعتبار سنجی رابطه ، آزمون T نمونه های جفت شده برای یک دوم (1/2) باقیمانده داده ها صورت گرفت. مطابق جدول ۴ با توجه به سطح معنی داری بزرگتر از ۰/۰۵ ، اختلاف اساسی و مهمی بین دو دسته از اطلاعات وجود ندارد.

در زمینه ارائه روابط مختلف برای تعیین میزان پایین آمدگی در موج شکن های پایدار ایستا (ستنی) معمولاً از دو پارامتر تشابه شکست<sup>۵</sup> و تیزی موج  $S_{om}$  یا  $S_{op}$  استفاده شده است[۴۵]. نتایج این تحقیق نشان می دهد دو پارامتر تیزی موج و تشابه شکست نمی توانند به تنها ی تأثیر سایر پارامترهای موثر را بر روی میزان پایین آمدگی در موج شکن های شکل پذیر نشان دهند. لذا برای تعیین رابطه ای دقیق تر جهت ارتباط میزان پایین آمدگی در موج شکن های شکل پذیر و سایر پارامترهای موثر حاکم، بایستی پارامترهای غیر وابسته موثر را از کل پارامترهای مطرح جدا کنیم، یکی از راه های دقیق و علمی برای این کار کاربرد آنالیز رگرسیونی چندگانه می باشد. برای این کار تمام اطلاعات ثبت شده در حین تحقیق حاضر بکار گرفته می شود و ارتباط و اهمیت نسبی و روند تغییرات هر یک از متغیرهای غیر وابسته نسبت به متغیر وابسته میزان پایین آمدگی مشخص می گردد. لذا معادله کلی زیر را برای ارتباط بین میزان پایین آمدگی  $R_d$  ، با متغیرهای غیر وابسته مد نظر قرار داده شد.

$$R_d/H_s = CX_I^{P_1} X_2^{P_2} \dots X_n^{P_n} \quad (8)$$

که X نماد متغیرهای مستقل و p توان متغیر، C ضریب ثابت و n تعداد کلی متغیرها می باشد. در ادامه با در نظر گرفتن متغیرهای موثر در رابطه (۵) و انجام جابجایی بر روی آنها در رابطه کلی (۸) به روش سعی و خطا، رابطه رگرسیونی چندگانه به کمک نرم افزار آماری SPSS ، به شکل زیر برای تراز پایین آمدگی ۲٪ ، حاصل گردید.

$$R_{d2\%} = 0.906 \times \frac{(d_i/H_{si})^{0.288}}{(s_{om})^{0.187} \cdot (\cot \alpha)^{0.251} \cdot (N)^{0.159}} \quad R^2 = 0.67 \quad (9)$$

که در این رابطه،  $d_i/H_s$  نسبت عمق آب در جلوی سازه به ارتفاع موج تابشی،  $s_{om}$  تیزی موج، N تعداد امواج و  $\cot \alpha$  شیب اولیه

**جدول ۴- جدول خروجی آزمون T نمونه های جفتی به منظور اعتبار سنجی رابطه (۹)**  
**آزمون نمونه های جفتی**

	تفاضل های جفتی						t	df	سطح معنی دار بودن			
	میانگین	انحراف معیار	خطای معیار متوسط	تفاضل های با بازه اطمینان ۹۵٪								
				حد بالایی	حد پائینی							
جفت شماره ۱ RD2CAL- RD20HS	. / ۰۰۴۳	. / ۰۶۸	. / ۰۰۸۸	. / ۰۲۲۱	. / ۰۱۳۵	- . / ۰۴۸	۵۸		. / ۶۳۱			

این تحقیق در آزمایشگاه هیدرولیک آن مرکز، جناب آفایان مهندس مهدی حجازی، مهندس نیکزاد امیری، رحمت الله خلیلی، منصور پشوتنی، عبدالله عبدالله و مهران نقدعلی تقدیر و تشکر می‌شود.

در ضمن روابط رگرسیونی خطی چندگانه را برای ترازهای پایین آمدگی ۱۰٪ و عده را می‌توان به شکل زیر بیان نمود:

(۱۰)

## ۸- مراجع

زاهدی، رفیعه. چگینی، وحید، بنازاده، محمدرضا و آق‌تومان، پیمان (۱۳۷۹): "بررسی بالاروی و پایین روی امواج نامنظم از موج شکن‌های پوشش داده شده با بلوك‌های آنتی‌فر"، مجموعه مقالات پنجمین همایش علوم و فنون دریایی و جوی، دانشگاه هرمزگان، بندرعباس.

عامری، مجتبی. دولتشاهی پیروز، محرم و آق‌تومان، پیمان (۱۳۷۹): "بررسی تأثیر شکل مصالح لایه آرمور بر واکنش‌های هیدرولیکی دیوارهای ساحلی توده سنگی"، مجموعه مقالات چهارمین کنفرانس بین‌المللی سواحل، بنادر و سازه‌های دریایی، بندرعباس، بندر شهیدرجائی.

CIRIA/CUR, (1991), *Manual on the use of rock in coastal and shoreline engineering*, special publication 83, CUR Report 154, A. A. BALKEMA, Rotterdam.

CIRIA/CUR, (1995), *Manual on the Use of Rock in Hydraulic engineering*, CUR/RWS Report 169, A.A.BALKEMA, Rotterdam.

De Waal, J.P., and Van der Meer, J.W., (1992), "Wave run-up and overtopping at coastal structures", ASCE, Proc. 23rd ICCE, Venice, Italy, pp. 1758-1771.

DHI (Danish Hydraulic Institute), (1996), *EUMAST II Berm breakwater structures, In- fluence of the permeability and stone gradation*, Draft report, October 1996.

Hughes, S.A., (1993), *Physical Models and Laboratory Techniques in Coastal Engineering*, Advanced Series on Ocean Engineering, Vol. 7, World Scientific Publishing, Singapore.

Mansard, E.P.D., and Funke, E.R., (1980), "The measurement of Incident And Reflected Spectral Using a Least Squares Method", Proc. 17th Coastal Engineering Conf, Sydney, Australia, pp. 154-172.

PIANC MarCom WG 40, (2003), *State-of-the-art of the design and construction of berm breakwaters*, PIANC, Brussels.

Pilarczyk, K.W., (1990), *Design of seawalls and dikes including overview of the revetment*, Coastal protection, Balkema Rotterdam.

$$\frac{R_{d10\%}}{H_s} = 0.760 \times \frac{(d_i / H_{si})^{0.242}}{(s_{om})^{0.237} \cdot (\cot \alpha)^{0.308} \cdot (N)^{0.174}} \quad R^2 = 0.66 \quad (11)$$

$$\frac{R_{ds\%}}{H_s} = 0.676 \times \frac{(d_i / H_{si})^{0.186}}{(s_{om})^{0.285} \cdot (\cot \alpha)^{0.354} \cdot (N)^{0.199}} \quad R^2 = 0.66$$

## ۶- نتیجه‌گیری

تحقیقات آزمایشگاهی حاضر به منظور بررسی اثر عوامل موثر بر روی میزان پایین آمدگی از سازه موج‌شکن شکل‌پذیر صورت گرفته است. نتایج این بررسی‌ها را به صورت زیر می‌توان بیان کرد:

۱- تأثیر شاخص نفوذپذیری سازه  $D_{n50A}/D_{n50C}$  و دانه‌بندی مصالح لایه آرمور  $D_{n85A}/D_{n18A}$  بر میزان پایین آمدگی امواج از موج‌شکن‌های شکل‌پذیر ناچیز می‌باشد.

۲- با افزایش تعداد امواج، میزان پایین آمدگی بر روی موج‌شکن‌های شکل‌پذیر افزایش می‌یابد.

۳- ترازهای پایین آمدگی امواج بر روی موج‌شکن‌های شکل‌پذیر به شبی اولیه سازه،  $\cot \alpha$  و عمق آب در جلوی سازه،  $d_i$  حساس می‌باشد.

۴- تحلیل رگرسیونی خطی چندگانه نشان می‌دهد که میزان پایین آمدگی از سازه‌های موج‌شکن شکل‌پذیر با تیزی موج  $S_{om}$ ، تعداد امواج  $N$  و شبی اولیه سازه،  $\cot \alpha$  رابطه معکوس و با نسبت عمق آب به ارتفاع موج در جلوی سازه،  $d_i/H_s$ ، رابطه مستقیم دارد.

۵- در راستای مقایسه با نتایج تحقیقات انجام شده توسط سایر محققین، کل اطلاعات آزمایشگاهی حاضر با معادله پیشنهادی فن در میر برای حالات مختلف، انطباق داده شد. عملاً دیده می‌شود میزان پایین آمدگی بر روی موج‌شکن‌های شکل‌پذیر، کمتر از موج‌شکن‌های سنتی می‌باشد.

۶- امواج از نوع آشفته، چرخان و آواری بر روی شبی عمومی سازه موج‌شکن شکل‌پذیر دارای میزان پایین آمدگی کمتری نسبت به امواج از نوع لغزان می‌باشند.

## ۷- تشکر

بدین وسیله از مسئولین محترم مرکز تحقیقات حفاظت خاک و آبخیزداری وزارت جهاد کشاورزی برای فراهم آوردن امکان انجام

- Van der Meer, J.W., (1998), "Wave run-up and overtopping", Chapter 8, pp. 145-159. In: *Dikes and revetments*, A.A. Balkema, Rotterdam.
- Van der Meer, J.W., and Janssen, J.P.F.M., (1994), "Wave run-up and wave overtopping at dikes and revetments", *Delft Hydraulics, Report No 485*.
- Van der Meer, J.W., and Stam, C.J.M., (1992), " Wave run-up on smooth and rock slopes of coastal structures," ASCE, *Journal of WPC & OE*, Vol. 118, No. 5, pp. 534-550.
- TAW, (1974), *Technical advisory committee on protection against inundation, wave run-up and overtopping*, Government Publishing Office, The Hague, The Netherlands.
- USACE, (1984), *Shore Protection Manual*, U.A. Government Publisher, Washington DC.
- Van der Meer, J.W., (1988a), "rock slopes and gravel beaches under wave attack", *Doctoral thesis, Delft univ. of Technology*, Delft Hydraulics Communication, No. 396.
- Van der Meer, J.W., (1993), *Conceptual design of rubble mound breakwaters*, Delft Hydraulics, Report No 483.

تاریخ دریافت مقاله: ۲۰ مرداد ۱۳۸۴

تاریخ اصلاح مقاله: ۱۰ مهر ۱۳۸۵

تاریخ پذیرش مقاله: ۲۲ آذر ۱۳۸۵